

УДК 518: 517.949.12

ГЛАДКАЯ ОКРУЖНОСТНАЯ ИНТЕРПОЛЯЦИЯ КРИВЫХ

В.А.Леус

В статье рассматриваются вопросы, связанные с приближенным решением задач прикладной геометрии. Основой вычислений в таких задачах является аппроксимация кривых и поверхностей в 3-мерном пространстве. Процесс аппроксимации поверхности может быть сведен к интерполяции функции одной переменной. Предлагается разновидность интерполяции многозначными функциями (см. статью I настоящего сборника). Проводятся оценки погрешности и доказываются сходимость окружностной интерполяции. Коротко рассказывается о практической реализации налагаемой методики.

Интерполяция плоских кривых

Рассмотрим совокупность $\{D\}$ плоских непрерывных линий конечной длины, имеющих непрерывную касательную и кусочно-непрерывную ограниченную кривизну. Пусть D -кривая - некоторый элемент этой совокупности. На D -кривой выбирается конечная упорядоченная по длине дуги система узлов интерполяции таким образом, что выполняются следующие условия:

а) Если S - максимум длины (по дуге кривой) участков между узлами, K - максимум модуля кривизны D -кривой, то $K \cdot S < 1$.

б) Прямолинейное расположение узлов допускается только в пределах прямолинейных отрезков D -кривой.

Зададим каждый узел координатами (X, Y) в некоторой декартовой прямоугольной системе. Введем понятие местных координат для участка и пары смежных участков. Начало местной системы (x, y) для i -го участка (между двумя последовательными точками $i, i+1$) совпадает с началом системы (X, Y) , ось абсцисс параллельна хорде участка, а положительное направление совпадает с направлением нумерации узлов. Местная система для пары участков определяется аналогично, только её ось абсцисс параллельна хорде, стягивающей начало первого участка с концом второго. Интерполяционная кривая (H -кривая) строится на каждом участке в отдельности. Для построения используются две точки, предшествующие интерполируемому участку, его концы и две последующие точки. Этим точкам присваиваются номера от единицы до шести в направлении общей нумерации (рис.1). Если точки 2,3,4 или 3,4,5 расположены прямолинейно, то кривая на участке $(3,4)$ интерполируется хордой этого участка. Аналитическая запись $y = y_{34}$, где y_{34} - местная ордината хорды. Если прямолинейности среди узлов 2,3,4 или 3,4,5 нет, то из проходящих через концы участка $(3,4)$ окружностей выбираются стягиваемые хордой $(3,4)$ интерполирующие дуги - первая и вторая, которые могут быть

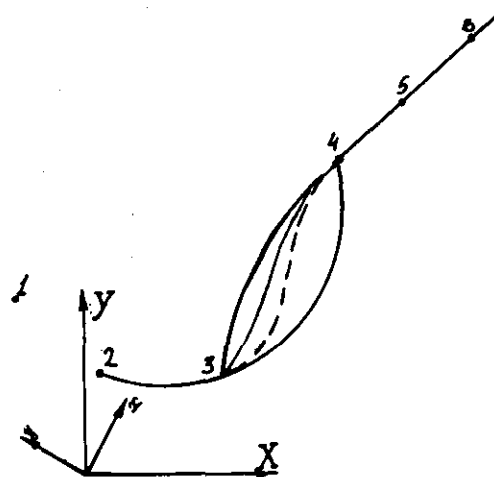


Рис. 1

представлены однозначными функциями $y = f_1(x)$, $y = f_2(x)$ в местной системе среднего участка. В случае прямолинейного расположения узлов 1,2,3 первая интерполирующая дуга касательна хорде

(2,3). Если узлы 1,2,3 не лежат на одной прямой, то эта дуга проходит через точку 2. В случае прямолинейного расположения узлов 4, 5, 6 вторая интерполирующая дуга касается хорды (4, 5). Дуга проходит через точку 5, если прямолинейность отсутствует.

Введем две неотрицательные весовые функции $\mathcal{P}_1(x)$ и $\mathcal{P}_2(x)$, так что $\mathcal{P}_1(x) + \mathcal{P}_2(x) \equiv 1$. Аналитическое выражение для интерполяционной кривой (сокращенно И-кривая) на участке (3, 4) получается как весовая сумма

$$y(x) = \mathcal{P}_1(x) \cdot f_1(x) + \mathcal{P}_2(x) \cdot f_2(x). \quad (I)$$

Практически применялись симметричные линейные веса, меняющиеся от 0 до 1. Интерполяционная формула с такими весами имеет вид

$$y(x) = \left(\frac{x_4 - x}{\ell}\right) \cdot \left[\theta_1 + \text{sign}(y_{34} - \theta_1) \cdot \sqrt{z_1^2 - (x - \alpha)^2}\right] + \left(\frac{x - x_3}{\ell}\right) \cdot \left[\theta_2 + \text{sign}(y_{34} - \theta_2) \cdot \sqrt{z_2^2 - (x - \alpha)^2}\right]. \quad (2)$$

Здесь α - местная абсцисса центров, θ_j - местные ординаты центров, z_j - радиусы интерполирующих окружностей ($j = 1, 2$), sign - функция знака, ℓ - длина хорды.

Повторив процесс на всех участках, получим непрерывную кривую, проходящую через узлы. Окружностная интерполяция существует для всякой последовательности узлов, в которой угол поворота хорды от участка к участку меньше $\frac{\pi}{2}$. Исследуя первую производную функции, заданной выражением (2), можно убедиться в том, что касательная к И-кривой в концах участка совпадает с касательной к соответствующей окружности. Следовательно, при переходе через узлы касательная к И-кривой непрерывна.

Кривизна И-кривой имеет разрыв первого рода в каждом узле. Если обозначить $f_1, f_{2,i-1}, f_{2,i}, f_3$ функции, графики которых есть интерполирующие окружности $i-1$ -го и i -го участков, то скачок кривизны на i -м узле запишется так:

$$\Delta k = \frac{2[f_3'(x_i^+) - f_{2,i}'(x_i^+) + f_{2,i}''(x_i^+)]}{\{1 + [f_{2,i}'(x_i^+)]^2\}^{3/2}} - \frac{2[f_{2,i-1}'(x_i^-) - f_1'(x_i^-) + f_{2,i-1}''(x_i^-)]}{\{1 + [f_{2,i-1}'(x_i^-)]^2\}^{3/2}}. \quad (3)$$

Подчеркнем, что $f_{2,i-1}$ и $f_{2,i}$ соответствуют дугам одной окружности, а значения x_i^- и x_i^+ относятся к разным системам координат. В случае, когда i -й узел отделяет прямой участок от криволинейного, одна из слагаемых дробей в формуле (3) равна нулю.

Чтобы получить И-кривые с непрерывной кривизной, нужно в качестве интерполирующих дуг, касающихся хорд соседних участков, использовать дуги непрерывной кривизны, принимающей нулевое значение в точке касания. Кроме того, используемые весовые функции должны иметь непрерывные первые производные, обращаемые в нуль на концах участка.

Рассматриваемый способ построения И-кривой является примером интерполяции параметризованного одномерного многообразия многосвязными функциями. Введение местных координат участка эквивалентно выбору в качестве параметра длины вдоль вписанной ломаной. Условие (а) гарантирует взаимно однозначное соответствие между значениями параметра и точками кривой.

Прямые и окружности интерполируются с нулевой ошибкой. Погрешность интерполяции произвольной кривой отлична от нуля и должна быть оценена. Далее будут указаны леммы, которые позволяют оценить погрешность окружностной интерполяции.

Рассмотрим соотношение, связывающее кривизну $k(x)$ графика функции $y = f(x)$ с производными этой функции в декартовых прямоугольных координатах (x, y) .

$$\frac{\frac{d^2 f}{dx^2}}{\left[1 + \left(\frac{df}{dx}\right)^2\right]^{3/2}} = k(x). \quad (4)$$

При заданной правой части равенство (4) является дифференциальным уравнением относительно неизвестной функции $f(x)$.

Поставим следующую краевую задачу для этого уравнения на отрезке $[0, 1]$ оси x .

ЗАДАЧА. На отрезке $[0, 1]$ задана кусочно-непрерывная ограниченная функция $k(x)$. Найти на этом отрезке непрерывную, непрерывно дифференцируемую функцию $f(x)$.

удовлетворяющую уравнению (4) и принимающую на концах отрезка заданные значения $y_0 = f(0)$, $y_1 = f(1)$.

ЛЕММА I. Если решение граничной задачи существует, то оно единственно.

ДОКАЗАТЕЛЬСТВО. Приводя обычным способом решение уравнения к квадратурам и пользуясь определенным интегралом с переменным верхним пределом как первообразной, получим выражение для производной

$$\frac{df}{dx} = \frac{\mathcal{K}(x) + c}{\sqrt{1 - [\mathcal{K}(x) + c]^2}}, \quad (5)$$

где $\mathcal{K}(x) = \int_0^x k(t) dt$, c - постоянная интегрирования. Для непрерывности производной $\frac{df}{dx}$ необходимо, чтобы знаменатель был больше нуля, или $|\mathcal{K}(x) + c| < 1$. Обозначим \mathcal{K}_{min} и \mathcal{K}_{max} - минимальное и максимальное значения функции $\mathcal{K}(x)$ на отрезке $[0, 1]$, получим необходимое условие существования решения краевой задачи в виде неравенства

$$\mathcal{K}_{max} - \mathcal{K}_{min} < 2. \quad (6)$$

Значения константы c можно искать только в пределах:

$$-1 - \mathcal{K}_{min} < c < 1 - \mathcal{K}_{max}. \quad (7)$$

Второй квадратурой с учетом условия на левом конце отрезка получим:

$$f(x) = \int_0^x \frac{[\mathcal{K}(z) + c] dz}{\sqrt{1 - [\mathcal{K}(z) + c]^2}} + y_0 = \mathcal{J}(c, x) + y_0. \quad (8)$$

Вообще говоря, интеграл $\mathcal{J}(c, x)$ не выражается через элементарные функции, поэтому условие на правом конце отрезка

$$\mathcal{J}(c, 1) + y_0 - y_1 = \mathcal{J}(c) + y_0 - y_1 = 0 \quad (9)$$

не позволяет явно определить константу c . Ответ на вопрос

о существовании и единственности решения краевой задачи можно получить, исследуя корни уравнения (9) в интервале (7) допустимых значений константы c .

Пусть выполнено необходимое условие (6). Тогда функция $\mathcal{K}(x)$ непрерывна в интервале допустимых значений и её производную можно получить дифференцированием по параметру под знаком интеграла

$$\frac{d\mathcal{J}}{dc} = \int_0^1 \frac{\partial}{\partial c} \left\{ \frac{[\mathcal{K}(z) + c] dz}{\sqrt{1 - [\mathcal{K}(z) + c]^2}} \right\} = \int_0^1 \frac{dz}{[1 - (\mathcal{K}(z) + c)^2]^{3/2}}.$$

Здесь и в дальнейшем придется ссылаться на свойства функции $g(u) = \frac{u}{\sqrt{1 - u^2}}$. Эта функция определена, непрерывна и непрерывно дифференцируема в интервале $(-1, 1)$. Её производная $\frac{dg}{du} = \frac{1}{(1 - u^2)^{3/2}}$ строго положительна, а сама функция монотонно возрастает от $(-\infty)$ до $(+\infty)$. Очевидно, функция $\mathcal{J}(c)$ тоже монотонно растет.

Пусть $\mathcal{K}_{max} - \mathcal{K}_{min} \leq 1 - \delta$, где δ - фиксированное положительное число меньше единицы. Пусть ε_1 и ε_2 произвольно малые положительные числа. Будем исследовать поведение функции $\mathcal{J}(c)$ на отрезке $-\mathcal{K}_{min} - 1 + \varepsilon_1 \leq c \leq \mathcal{K}_{max} + 1 - \varepsilon_2$ из интервала допустимых значений. В силу монотонности функция $\mathcal{J}(c)$ принимает на левом конце этого отрезка минимальное значение \mathcal{J}_{min} , на правом - максимальное \mathcal{J}_{max} . Поскольку $\mathcal{K}(z) - \mathcal{K}_{min} \leq \mathcal{K}_{max} - \mathcal{K}_{min} \leq 1 - \delta$, $\mathcal{K}(z) - \mathcal{K}_{max} \geq \mathcal{K}_{min} - \mathcal{K}_{max} \geq \delta - 1$, $-\mathcal{K}_{max} \geq \delta - 1$,

то, учитывая свойства функции $g(u)$, получаем

$$\begin{aligned} \mathcal{J}_{min} &= \int_0^1 \frac{[\mathcal{K}(z) - \mathcal{K}_{min} - 1 + \varepsilon_1] dz}{\sqrt{1 - [\mathcal{K}(z) - \mathcal{K}_{min} - 1 + \varepsilon_1]^2}} \leq \int_0^1 \frac{(1 - \delta - 1 + \varepsilon_1) dz}{\sqrt{1 - (1 - \delta - 1 + \varepsilon_1)^2}} = \\ &= \frac{\varepsilon_1 - \delta}{\sqrt{1 - (\varepsilon_1 - \delta)^2}} \quad (10) \end{aligned}$$

$$\begin{aligned} \gamma_{max} &= \int_0^1 \frac{[\mathcal{K}(z) - \mathcal{K}_{max} + 1 - \varepsilon_2] dz}{\sqrt{1 - [\mathcal{K}(z) - \mathcal{K}_{max} + 1 - \varepsilon_2]^2}} \geq \int_0^1 \frac{(\delta - 1 + 1 - \varepsilon_2) dz}{\sqrt{1 - (\delta - 1 + 1 - \varepsilon_2)^2}} = \\ &= \frac{\delta - \varepsilon_2}{\sqrt{1 - (\delta - \varepsilon_2)^2}}. \end{aligned}$$

Левая часть уравнения (9) монотонно возрастает на отрезке $[-\mathcal{K}_{min} - 1 + \varepsilon_1, -\mathcal{K}_{max} + 1 - \varepsilon_2]$, пробегая значения от $(\gamma_{min} + \gamma_0 - \gamma_1)$ до $(\gamma_{max} + \gamma_0 - \gamma_1)$.

Пусть $\delta > \frac{|\gamma_0 - \gamma_1|}{\sqrt{1 + (\gamma_0 - \gamma_1)^2}}$, то есть $|\gamma_0 - \gamma_1| < \frac{\delta}{\sqrt{1 - \delta^2}}$.

При достаточно малых ε_1 и ε_2 правые части неравенств (10) могут быть сколь угодно близки по абсолютной величине к $\frac{\delta}{\sqrt{1 - \delta^2}}$. Следовательно, всегда найдется принадлежащий интервалу (7) отрезок, на концах которого левая часть уравнения (6) принимает значения разных знаков. В силу монотонного возрастания непрерывной функции $\mathcal{Y}(C)$ в допустимом интервале найдется единственный корень уравнения (9), который и дает решение граничной задачи. Достаточным условием существования решения является неравенство

$$\mathcal{K}_{max} - \mathcal{K}_{min} < 1 - \frac{|\gamma_0 - \gamma_1|}{\sqrt{1 + (\gamma_0 - \gamma_1)^2}}. \quad (II)$$

Лемма доказана.

Сформулируем и докажем лемму 2 о сравнении функций через кривизны их графиков.

Рассмотрим две крайние задачи для уравнения (4) с различными правыми частями $k_1(x)$ и $k_2(x)$ при одинаковых краевых условиях $f_1(0) = f_2(0) = \gamma_0$, $f_1(1) = f_2(1) = \gamma_1$. Иногда, не решая задачи, можно сделать определенные заключения о функциях $f_1(x)$ и $f_2(x)$ только на основе знания кривизны их графиков.

ЛЕММА 2. Если $k_1(x) \geq k_2(x)$ на отрезке $[0, 1]$, и решения соответствующих крайних задач существуют, то

- 1) в интервале $(0, 1)$ эти решения удовлетворяют неравенству $f_1(x) < f_2(x)$,
- 2) на концах отрезка $[0, 1]$ значения производных удовлетворяют неравенствам $f_1'(0) < f_2'(0)$, $f_1'(1) > f_2'(1)$.

ДОКАЗАТЕЛЬСТВО. Представим функции $f_1(x)$ и $f_2(x)$ в виде (8)

$$\begin{aligned} f_1(x) &= \gamma_0 + \int_0^x \frac{[\mathcal{K}_1(z) + C_1] dz}{\sqrt{1 - [\mathcal{K}_1(z) + C_1]^2}}, \\ f_2(x) &= \gamma_0 + \int_0^x \frac{[\mathcal{K}_2(z) + C_2] dz}{\sqrt{1 - [\mathcal{K}_2(z) + C_2]^2}}. \end{aligned}$$

Поскольку $k_1(x) \geq k_2(x)$, то

$$\mathcal{K}_1(x) = \int_0^x k_1(t) dt \geq \int_0^x k_2(t) dt = \mathcal{K}_2(x).$$

На правом конце отрезка $[0, 1]$ должно выполняться неравенство $\mathcal{K}_1(1) > \mathcal{K}_2(1)$, так как $k_1(x) \neq k_2(x)$. Значения функций $f_1(x)$ и $f_2(x)$ здесь совпадают

$$\int_0^1 \frac{[\mathcal{K}_1(z) + C_1] dz}{\sqrt{1 - [\mathcal{K}_1(z) + C_1]^2}} = \int_0^1 \frac{[\mathcal{K}_2(z) + C_2] dz}{\sqrt{1 - [\mathcal{K}_2(z) + C_2]^2}}. \quad (12)$$

В равенстве (12) можно рассматривать подынтегральные выражения как сложные функции $G_1(z) = g(u_1(z))$ и $G_2(z) = g(u_2(z))$, где $u_1(z) = \mathcal{K}_1(z) + C_1$, $u_2(z) = \mathcal{K}_2(z) + C_2$.

Допустим $C_1 \geq C_2$, тогда $u_1(z) \geq u_2(z)$, причем $u_1(z) \neq u_2(z)$. По свойству монотонности функции $g(u)$ имеем $G_1(z) = g(u_1) \geq g(u_2) = G_2(z)$, кроме того $G_1(z) \neq G_2(z)$. Но в таком случае равенство (12) невозможно. Следовательно, допущение неверно и следует принять строгое неравенство $C_1 < C_2$. Учитывая, что $\mathcal{K}_1'(0) = \mathcal{K}_2'(0) = 0$, получим из соотношения (8) значения производных функций $f_1'(x)$ и $f_2'(x)$ в нуле

$$f_1'(0) = \frac{C_1}{\sqrt{1-C_1^2}} = g(C_1), \quad f_2'(0) = \frac{C_2}{\sqrt{1-C_2^2}} = g(C_2).$$

В силу монотонного возрастания функции $g(u)$ имеем

$$f_1'(0) < f_2'(0). \quad (13)$$

Изменив положительное направление оси абсцисс на противоположное и перенеся начало координат в правый конец отрезка $0, I$, получим при помощи тех же рассуждений неравенство аналогичное (13). В первоначальных осях оно эквивалентно неравенству

$$f_1'(I) > f_2'(I).$$

Второе утверждение леммы доказано.

Поскольку $f_1(x)$ и $f_2(x)$ непрерывны и непрерывно дифференцируемы, то из (13) следует существование интервала $(0, x_A)$, в котором $f_1(x) < f_2(x)$, причем $f_1(x_A) = f_2(x_A)$.

Графики функций $f_1(x)$ и $f_2(x)$ соединяют точки M и N плоскости (x, y) . Точка A является общей для графиков, поэтому функции $f_1(x)$ и $f_2(x)$ можно рассматривать на отрезке $[0, x_A]$ как решения краевых задач для уравнения (4) с правыми частями $k_1(x)$ и $k_2(x)$ (рис.2). Функции $f_1(x)$ и $f_2(x)$ не совпадают тождественно на этом отрезке.

В силу единственности решения краевых задач можно утверждать, что $k_1(x) \neq k_2(x)$ на отрезке $[0, x_A]$. Но тогда по доказанному

$$f_1'(x_A) > f_2'(x_A). \quad (14)$$

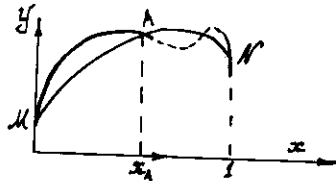


Рис.2

Допустим, что точка A отлична от N . Проводя для отрезка

$[x_A, I]$ те же рассуждения, что и для отрезка $[0, x_A]$, получим в точке x_A неравенство

$$f_1'(x_A) < f_2'(x_A). \quad (15)$$

Противоречивость неравенств (14) и (15) говорит о неперменном совпадении точек A и N . Интервал $(0, x_A)$, в котором

$f_1(x) < f_2(x)$, совпадает с интервалом $(0, I)$, что и утверждается в первом пункте леммы о сравнении.

Отметим, что интегральные представления (5), (8), а следовательно все основанные на них рассуждения, остаются в силе для более широкого (чем кусочно-непрерывные) класса интегрируемых функций $k(x)$.

Оценка погрешности и сходимости

Будем различать погрешность-удаленность полученных точек от истинных и угловую погрешность - разницу в направлениях истинной касательной (нормали) и приближенной.

Пусть на некоторой D -кривой выбрана система узлов, удовлетворяющая условиям (α, σ) и получена окружностная I -кривая. Обозначим k_i максимум модуля разности местных ординат точек кривых U и D на i -м участке, т.е. $k_i = \max |f_D(x) - f_U(x)|$. Наибольшую из этих величин по всем участкам будем называть погрешностью интерполяции

$$h(D, U) = \max_i k_i. \quad (16)$$

Рассмотрим тройку смежных участков между узлами 2, 3, 4, 5

(рис.1). Обозначим l длину хорды среднего участка, k_{min} и k_{max} - минимальное и максимальное значения кривизны D -кривой на протяжении тройки участков и оценим отклонение k на среднем участке. Пусть k_1 и k_2 - кривизны первой и второй интерполирующих дуг. Первая дуга и кусок D -кривой между точками 2 и 4 можно рассматривать как отдельные кривые в местной системе координат первой пары участков. Кривизна k_1 удовлетворяет неравенству

$$k_{min} \leq k_1 \leq k_{max}. \quad (17)$$

Действительно, первая интерполирующая дуга либо имеет с D -кривой третью общую точку внутри отрезка $[x_2, x_4]$, либо касается D -кривой в точке 3. Опираясь соответственно на пункт первый или второй леммы о сравнении, заключаем, что k_1 не мо-

жет быть больше (или меньше) кривизны Д-кривой всюду на протяжении рассматриваемой тройки участков. Аналогично доказыва-
ется неравенство для кривизны k_2 второй интерполирующей ду-
ги

$$k_{min} \leq k_2 \leq k_{max} \quad (18)$$

Дуги окружностей с кривизнами k_{min} и k_{max} , прохо-
дящие через концы участка и имеющие уравнения $y = f_{min}(x)$,

$y = f_{max}(x)$ назовем минимальной и максимальной. Для кри-
визны Д-кривой на участке (3,4) имеем очевидное неравенство
 $k_{min} \leq k \leq k_{max}$. Применяя лемму о сравнении к ми-
нимальной дуге среднего участка и Д-кривой на нем, а затем к
максимальной и Д-кривой, получим неравенство:

$$f_{max}(x) < f(x) < f_{min}(x)$$

справедливое всюду в интервале (x_1, x_2) . Иными словами, Д-кри-
вая на среднем участке лежит между минимальной и максимальной
дугами. С другой стороны, исходя из неравенств (17), (18) на
основании леммы о сравнении можно утверждать, что обе интер-
полирующие окружности и, следовательно, И-кривая заключены
между минимальной и максимальной дугами. Отсюда вытекает оцен-
ка погрешности окружностной интерполяции на участке (3,4): от-
клонение И-кривой от Д-кривой по местной ординате не превы-
шает H_2 - толщины "линзы", образованной минимальной и мак-
симальной дугами.

$$H_1(k_{max}, k_{min}, l) = \frac{1 - \sqrt{1 - \left(\frac{l k_{max}}{2}\right)^2}}{k_{max}} - \frac{1 - \sqrt{1 - \left(\frac{l k_{min}}{2}\right)^2}}{k_{min}} \quad (19)$$

Оценка погрешности на i -м участке имеет вид:

$$k_i < H_i(k_{max}, k_{min}, l_i) \quad (20)$$

и справедлива при любых весовых функциях, используемых в ин-
терполяционной формуле. Интерполяция сходится, если при стре-
млении к нулю максимума длин участков между узлами погрешно-
сть стремится к нулю.

ТЕОРЕМА О СХОДИМОСТИ. Для всякой Д-кри-
вой при любом $\epsilon > 0$ найдется $\delta(\epsilon) > 0$
такое, что окружностная И-кри-
вая, построенная по системе уз-
лов с максимальной длиной дуги
участка $S < \delta$, лежит в ϵ -окрест-
ности Д-кривой.

Доказательство тривиально, если все системы узлов удов-
летворяют условиям (α, δ) . Действительно, в этом случае по-
грешность оценивается выражением типа (19), которое стремится
к нулю не медленнее l^2 , поскольку кривизна Д-кривой ог-
раничена. Если не требовать выполнения условия (δ) , то на
участках, где оно нарушается, и на соседних с ними, нужно
проводить оценку погрешности особо. Если l - длина дуги
участка Д-кривой, l_c - длина хорды, k - максимум модуля кри-
визны Д-кривой на трех смежных участках, то погрешность оце-
нивается величинами соответственно: $H_2(k, l) =$

$$= \frac{1 - \sqrt{1 - \left(\frac{l k}{2}\right)^2}}{k}, \quad H_3(k, l) = \frac{1 - \sqrt{1 - \left(\frac{l k}{2}\right)^2}}{k}$$

Используя большие буквы для обозначения величин в целом по
всей Д-кривой, запишем оценки ϵ -окрестности при выполнении
условия (δ)

$$\epsilon < H_2(K_{max}, K_{min}, L), \quad (21)$$

при нарушении

$$\epsilon < H_3(K, S). \quad (22)$$

В последнем случае также имеет место сходимость второго по-
рядка относительно S , но количественно оценка здесь не
лучше, чем для кусочно-линейной интерполяции.

Переходим к угловой погрешности. Предварительно докажем
две леммы, на основе которых затем получим оценку угловой
погрешности.

Пусть на отрезке $[0, 1]$ оси x задана непрерывная, непрерыв-
но-дифференцируемая функция $f(x)$ с кусочно-непрерывной
ограниченной второй производной; $f(x)$ принимает нулевые

значения на концах отрезка. Её график, очевидно, имеет кучно-непрерывную ограниченную кривизну $k(x)$. Пусть функции $z(x)$ и $R(x)$, принимающие нулевые значения на концах отрезка, задают дуги минимальной и максимальной окружностей с кривизнами k_{min} и k_{max} .

ЛЕММА 3. Производная функции $f(x)$ по абсолютной величине не превосходит максимума модулей производных функций $z(x)$, $R(x)$

$$\left| \frac{df}{dx} \right| \leq \max \left\{ \max_x \left| \frac{dz}{dx} \right|, \max_x \left| \frac{dR}{dx} \right| \right\} = T. \quad (23)$$

ДОКАЗАТЕЛЬСТВО. Рассмотрим случай, когда $z(x)$ и $R(x)$ неотрицательны и, следовательно, $T = \left. \frac{dz}{dx} \right|_{x=0}$. В остальных случаях рассуждения аналогичны.

По лемме о сравнении график функции $f(x)$ заключен между дугами минимальной и максимальной окружностей, а её производная $\frac{df}{dx}$ на концах отрезка $[0, 1]$ удовлетворяет строгому неравенству (23). Допустим, что в интервале $(0, 1)$ есть точка x_A , в которой $\frac{df}{dx} = -T$ (случай с величиной $+T$ можно отдельно не рассматривать, так как он приводится к первому заменой $x' = 1 - x$). Касательную к графику функции $f(x)$ в точке A продолжим до пересечения с осью абсцисс в точке B , принадлежащей интервалу $(0, 1)$ (рис. 3). На отрезке $[0, x_B]$ рассмотрим графики функций $z(x)$ и $f(x)$. Первый есть дуга OB с кривизной окружности $z(x)$, второй составлен из дуги OA графика $f(x)$ и прямолинейного отрезка AB . График функции $f(x)$ имеет кривизну не меньшую кривизны окружности $z(x)$. На основании леммы о сравнении заключаем

$$\left. \frac{dz}{dx} \right|_{x=x_B} < \left. \frac{df}{dx} \right|_{x=x_B} = \left. \frac{dz}{dx} \right|_{x=1},$$

что невозможно, поскольку дуга OB окружности $z(x)$ меньше дуги окружности $z(x)$ того же радиуса. Следовательно, точка A не существует, т.е. неравенство (23) выполнено всюду на отрезке $[0, 1]$. Лемма доказана.

Перейдем к следующей лемме. На отрезке $[-\frac{1}{2}, \frac{1}{2}]$ оси x рассмотрим линейно-весовую сумму функций $f_1(x)$ и $f_2(x)$

$$f(x) = P_1(x) f_1(x) + P_2(x) f_2(x),$$

где

$$P_1(x) = \frac{1}{2} - x, \quad P_2(x) = \frac{1}{2} + x,$$

а функции $f_1(x)$, $f_2(x)$ соответствуют дугам окружностей, проходящих через концы отрезка.

ЛЕММА 4. Производная линейно-весовой суммы на отрезке $[-\frac{1}{2}, \frac{1}{2}]$ не превышает по абсолютной величине максимума модулей складываемых окружностей

$$\left| \frac{df}{dx} \right| \leq \max \left\{ \max_x |f_1'|, \max_x |f_2'| \right\} = V. \quad (24)$$

ДОКАЗАТЕЛЬСТВО. Обозначим r_j - радиусы, b_j - ординаты центров окружностей, проходящих через концы отрезка $[-\frac{1}{2}, \frac{1}{2}]$. Доказательство проведем только для случая, когда b_1 и b_2 разных знаков. Пусть для определенности $b_1 > 0$ и $b_2 \leq |b_1|$ (рис. 4). Складываемые функции имеют вид:

$$f_1(x) = b_1 - \sqrt{r_1^2 - x^2} = b_1 - \sqrt{b_1^2 - (\frac{1}{4} - x^2)},$$

$$f_2(x) = b_2 - \sqrt{r_2^2 - (\frac{1}{4} - x^2)}.$$

С учетом того, что $P_1' \equiv -1$, $P_2' \equiv 1$, имеем:

$$\frac{df}{dx} = (f_2 - f_1) + (P_1 f_1' + P_2 f_2') = d(x) + e(x). \quad (25)$$

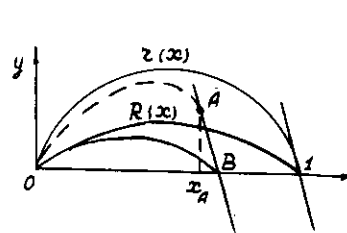


Рис. 3.

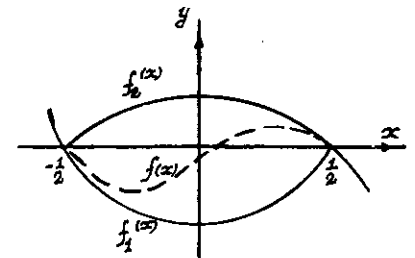


Рис. 4.

Оценим первое слагаемое (25)

$$d(x) \leq f_2(0) - f_1(0) \leq -2f_1(0) < 2(z_1 - b_1) \cdot \left(1 + \frac{z_1}{b_1}\right) = \frac{2(z_1^2 - b_1^2)}{b_1} = \frac{1}{2b_1}.$$

Но в рассматриваемом случае $V = \frac{1}{2b_1}$, следовательно, оценка первого слагаемого: $0 \leq d(x) < V$. Второе слагаемое (25) по модулю не превосходит V , так как является весовой суммой величин, каждая из которых по модулю не больше V . Очевидно, всюду на отрезке $[-\frac{1}{2}, \frac{1}{2}]$ выполняется неравенство $|f_2'(x)| \leq |f_1'(x)|$. На отрезке $[-\frac{1}{2}, 0]$ производная $f_1'(x)$ неположительна и входит в $e(x)$ с весом не меньшим $\frac{1}{2}$, поэтому сама функция $e(x)$ неположительна на отрезке $[-\frac{1}{2}, 0]$. Поскольку здесь слагаемые в выражении производной $\frac{df}{dx}$ имеют разные знаки, и каждое по модулю не превосходит величины V , то модуль их суммы тоже не больше V . На левой половине отрезка $[-\frac{1}{2}, \frac{1}{2}]$ неравенство (24) выполняется.

На правой половине этого отрезка исследуем производную:

$$\frac{df}{dx} = (b_2 + \sqrt{z_2^2 - x^2}) - (b_1 - \sqrt{z_1^2 - x^2}) + \frac{x(\frac{1}{2} - x)}{\sqrt{z_2^2 - x^2}} - \frac{x(\frac{1}{2} + x)}{\sqrt{z_1^2 - x^2}}.$$

Пусть $b_2 \leq \frac{1}{2}$. Учитывая соотношение $b^2 = z^2 - \frac{1}{4}$, преобразуем выражение производной к виду:

$$\frac{df}{dx} = \frac{x(\frac{1}{2} - x)}{z_2 \sqrt{1 - (\frac{x}{z_2})^2}} - \frac{x(\frac{1}{2} + x)}{z_1 \sqrt{1 - (\frac{x}{z_1})^2}} + \left[z_2 \sqrt{1 - (\frac{x}{z_2})^2} - z_1 \sqrt{1 - \frac{1}{4z_1^2}} \right] + \left[z_1 \sqrt{1 - (\frac{x}{z_1})^2} - z_1 \sqrt{1 - \frac{1}{4z_1^2}} \right].$$

Оценим первую дробь:

$$0 \leq \frac{x(\frac{1}{2} - x)}{z_2 \sqrt{1 - (\frac{x}{z_2})^2}} \leq \frac{x(\frac{1}{2} - x)}{z_2 [1 - (\frac{x}{z_2})^2]} \leq \frac{x(\frac{1}{2} - x)}{z_2 (1 - \frac{x}{z_2})} = \frac{x(\frac{1}{2} - x)}{z_2 - x} \leq \frac{x}{2z_2}.$$

Для второй дроби очевидно неравенство:

$$\frac{x(\frac{1}{2} + x)}{z_2 \sqrt{1 - (\frac{x}{z_2})^2}} \geq \frac{x(\frac{1}{2} + x)}{z_2} \geq 0$$

Представим радикал $\sqrt{1 - (\frac{x}{z_2})^2}$ в виде ряда

$$\sqrt{1 - (\frac{x}{z_2})^2} = 1 - \frac{1}{2}(\frac{x}{z_2})^2 - \frac{1}{2 \cdot 4}(\frac{x}{z_2})^4 - \frac{1 \cdot 3}{2 \cdot 4 \cdot 6}(\frac{x}{z_2})^6 - \dots,$$

сходящегося при всех $x \in [0, \frac{1}{2}]$. Любая частичная сумма дает предельную функцию с известком, поэтому $\sqrt{1 - (\frac{x}{z_2})^2} < 1 - \frac{1}{2}(\frac{x}{z_2})^2$. Теперь оценим сверху производную $\frac{df}{dx}$ на отрезке $[0, \frac{1}{2}]$.

$$\begin{aligned} \frac{df}{dx} &< \frac{x}{2z_1} - \frac{x(\frac{1}{2} + x)}{z_2} + \left\{ z_2 \left[1 - \frac{1}{2}(\frac{x}{z_2})^2 \right] - z_2 \left(1 - \frac{1}{4z_2^2} \right) \right\} + \left\{ z_1 \left[1 - \frac{1}{2}(\frac{x}{z_1})^2 \right] - z_1 \left(1 - \frac{1}{4z_1^2} \right) \right\} \\ &= \frac{1 + 2x - 2x^2}{4z_1} + \frac{1 - 2x - 6x^2}{4z_2} < \frac{1 + 2x - 2x^2}{4z_1} + \frac{1}{4z_1} = \\ &= \frac{1 + x - x^2}{2z_1} \leq \frac{5}{8z_1} = \frac{5}{4\sqrt{1 + \frac{1}{4b_1^2}}} \cdot \frac{1}{2b_1} < \frac{5}{4\sqrt{2}} \cdot \frac{1}{2b_1} < \frac{1}{2b_1} = V \end{aligned}$$

Пусть теперь $b_1 > \frac{1}{2}$. Имеем:

$$\begin{aligned} \frac{df}{dx} &\leq \frac{x(\frac{1}{2} - x)}{\sqrt{z_1^2 - x^2}} - 2(b_1 - \sqrt{z_1^2 - x^2}) = \\ &= \frac{x(\frac{1}{2} - x)}{b_1 \sqrt{1 + \frac{x - x^2}{b_1^2}}} - 2b_1 \left(1 - \sqrt{1 + \frac{x - x^2}{b_1^2}} \right). \end{aligned}$$

Поскольку на отрезке $[0, \frac{1}{2}]$ при $b_1 > \frac{1}{2}$ справедливо неравенство $0 \leq \frac{x - x^2}{b_1^2} < 1$, то можно предложить оценку производной:

$$\frac{df}{dx} \leq \frac{x(\frac{1}{2} - x)}{b_1} + \frac{x - x^2}{b_1} = \frac{x + x - 4x^2}{2b_1}.$$

Квадратичная функция $\frac{1}{2} + x - 4x^2$ достигает максимального значения $\frac{9}{16}$ при $x = \frac{1}{8}$, следовательно,

$$\frac{df}{dx} \leq \frac{9}{16} \cdot \frac{1}{2b_1} < \frac{1}{2b_1} = V$$

Чтобы получить оценку снизу, вернемся к выражению (25). Достаточно оценить величину $P_2 f_2'$, так как только она является неположительной на отрезке $[0, \frac{1}{2}]$. Эта величина минимальна в правом конце отрезка $P_2 f_2' \geq f_2'(\frac{1}{2}) = \frac{1}{2b_2}$.

По условию $b_2 \leq |b_1|$, т.е. $\frac{1}{2b_2} \geq -\frac{1}{2b_1} = -V$. Следовательно, на отрезке $[0, \frac{1}{2}]$ выполняется неравенство $\frac{df}{dx} \geq P_2 f_2' \geq -V$. Лемма 4 доказана.

При окружностной интерполяции плоской кривой интерполирующие окружности "закаты" между минимальной и максимальной дугами на каждом участке. Следовательно, в местных осях имеет место неравенство $V < T$. На основании лемм 3 и 4 заключаем, что производные функций, графиками которых являются дуги И-кривой и Д-кривой, отличаются меньше чем на T :

$$\left| \frac{df_D}{dx} - \frac{df_I}{dx} \right| < T = \frac{\ell k}{2\sqrt{1 - (\frac{\ell k}{2})^2}} \quad (26)$$

Здесь ℓ - длина хорды, k - максимум модуля кривизны на трех участках. Там, где условие (б) нарушено, оценка содержит величину δ - длину дуги участка Д-кривой, вместо величины ℓ .

Если S - максимум длин участков, K - максимум модуля кривизны Д-кривой в целом, то разности производных по всей кривой оцениваются неравенством:

$$\left| \frac{df_D}{dx} - \frac{df_I}{dx} \right| < \frac{SK}{2\sqrt{1 - (\frac{SK}{2})^2}} = T(S, K). \quad (27)$$

В случае пространственной кривой можно интерполировать её проекции на некоторые координатные плоскости. Второй путь состоит в следующем: начало местной системы (x, y, z) помещается в точку 3, ось x направляется вдоль хорды (3, 4) ортогонально осям y и z . Плоскость (x, y) определяется точ-

ками 2, 3, 4, плоскость (x, z) - точками 3, 4, 5. Пусть через точки 3, 4 проходят окружности $y = f_1(x)$ и $z = f_2(x)$.

Радиус-вектор И-кривой является функцией координаты x , а именно $\vec{r}(x) = (x, P_1(x)f_1(x), P_2(x)f_2(x))$.

Задача о пересечении. Для практических приложений важно уметь решать задачу об отыскании точки пересечения двух плоских кривых, имеющих уравнения типа $y = f(x)$ в различных системах координат $(x, y)^{(1)}$ и $(x, y)^{(2)}$. Пусть система (2) повернута на угол φ относительно системы (1), причем имеет место неравенство $0 < \varphi < \pi$. Последнее всегда может быть удовлетворено взаимным изменением нумерации систем.

Случаи $\varphi = 0$, $\varphi = \pi$ не рассматриваются, так как при этом задача ограничивается решением одного уравнения $f_1(x) - f_2(x) = 0$.

Задачу будем решать последовательными приближениями. Для некоторого значения x_1 абсциссы любой координатной системы, например первой, вычисляется значение ординаты $y_1^{(1)} = f_1(x_1^{(1)})$ точки на соответствующей кривой. Координаты $(x_1, y_1)^{(1)}$ переводятся в другую систему, получаются координаты $(x_1, y_1)^{(2)}$. Для значения $x_2^{(2)} = x_1^{(2)}$ абсциссы второй системы вычисляется соответствующее значение ординаты $y_2^{(2)} = f_2(x_2^{(2)})$ точки на второй кривой. Координаты $(x_2, y_2)^{(2)}$ переводятся в первую систему и т.д. Процесс повторяется до тех пор, пока расстояние между точками (x_n, y_n) и (x_{n+1}, y_{n+1}) не станет меньше заданного ε (рис.5а).

Из наглядного примера (рис.5б) ясно, что характер процесса может меняться: сходимость по "зигзагу", по "спирали", ненаправленный "цикл", вращающийся вокруг точки пересечения. Наконец, процесс может оказаться расходящимся (рис.5в). Исследуем причины такого разнообразия и установим достаточное условие сходимости.

Начнем с простейшего случая. Две прямые пересекаются в точке P . Пусть $\alpha^{(1)} \wedge \beta^{(1)}$, $\alpha^{(2)} \wedge \beta^{(2)}$ - ортонормальные базисные реперы, задающие координатные системы $(x, y)^{(1)}$ и

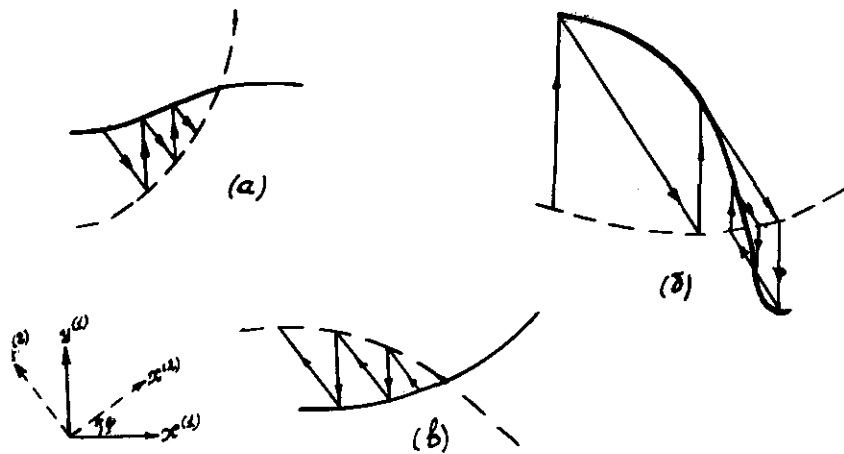


Рис. 5.

$(xy)^{(2)}$ с общим началом в точке P . Уравнение первой прямой в первой системе имеет вид $y^{(1)}(x^{(1)}) = \operatorname{tg} \alpha \cdot x^{(1)}$, второй прямой во второй системе $-y^{(2)}(x^{(2)}) = \operatorname{tg} \beta \cdot x^{(2)}$, где α - полярный угол единичного вектора „ c ” первой прямой, β - полярный угол единичного вектора „ a ” второй прямой. Расположение таково, что $-\frac{\pi}{2} < \alpha, \beta < \frac{\pi}{2}$.

Будем применять к этим прямым процесс последовательных приближений. Введем линейную функцию точки $F(z) = (\alpha^{(1)}, z)$, где z - радиус-вектор произвольной точки относительно полюса в точке P . Линии уровня этой функции суть прямые, параллельные оси ординат первой системы. Один полный „период” последовательных приближений, т.е. переход с первой прямой на вторую и возврат, можно интерпретировать как переход с одного уровня $F(z) = F_1$ на другой $F(z) = F_2$. Точка P лежит на нулевом уровне $F(z) = 0$. Если $|F_2| < |F_1|$, то процесс сходится, в противном случае не сходится или расходится (рис.6).

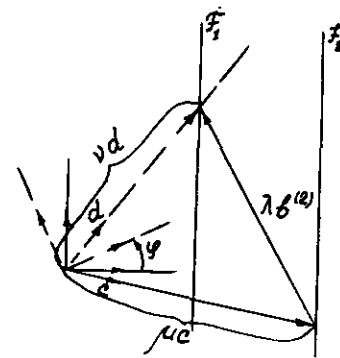


Рис. 6

Пусть исходная точка на первой прямой имеет радиус-вектор $z = \mu c$. Переход в точку νa второй прямой производится вдоль вектора $b^{(2)}$. Имеет место векторное равенство

$$\mu c + \lambda b^{(2)} = \nu a \quad (28)$$

Значение исходного уровня функции $F(z)$ есть:

$$F_1 = (\alpha^{(1)}, \mu c) = \mu (\alpha^{(1)}, c) = \mu \cos \alpha,$$

значение последующего уровня:

$$F_2 = (\alpha^{(2)}, \nu a) = \mu (\alpha^{(1)}, c) + \lambda (\alpha^{(2)}, b^{(2)}) = \mu \cos \alpha + \lambda \sin \varphi.$$

Запишем векторное равенство (28) в координатах

$$\mu \cos \alpha - \lambda \sin \varphi = \nu \cos (\varphi + \beta)$$

$$\mu \sin \alpha + \lambda \cos \varphi = \nu \sin (\varphi + \beta).$$

Исключая ν , разрешим равенство относительно λ :

$$\lambda = \frac{\mu \sin (\varphi + \beta - \alpha)}{\cos \beta}.$$

Отношение $\frac{F_2}{F_1}$ обозначим q и назовем коэффициентом направленности процесса последовательных приближений. Учитывая вышенаписанное равенство, имеем:

$$q = \frac{\cos \alpha - \frac{\sin (\varphi + \beta - \alpha) \sin \varphi}{\cos \beta}}{\cos \alpha} = \frac{\cos (\varphi - \alpha) \cos (\varphi + \beta)}{\cos \alpha \cos \beta}.$$

В таблице (рис.7) показана зависимость характера направленности от величины q . При фиксированном φ коэффициент направленности есть функция $q(\alpha, \beta)$. Представим её в следующем виде

$$q(\alpha, \beta) = -\sin^2 \varphi (\operatorname{tg} \alpha + \operatorname{ctg} \varphi) (\operatorname{tg} \beta - \operatorname{ctg} \varphi). \quad (29)$$

β > 1	Расходимость	1 < q	по зигзагу
		q < -1	по спирали
q = 1	Повторение	q = 1	отрезка
		q = -1	цикла
1 > q	Сходимость	0 < q < 1	по зигзагу
		-1 < q < 0	по спирали
		q = 0	за конечное число шагов

Рис. 7.

Будем считать, что φ входит в это выражение как пара-метр, т.е. (29) задает однопараметрическую совокупность функций двух переменных. Каждая функция $q(\alpha, \beta)$ из этой совокупности определена, непрерывна и непрерывно дифференцируема внутри квадрата $|\alpha|, |\beta| < \frac{\pi}{2}$ плоскости переменных α, β . Формулы

$$\left. \begin{aligned} \xi &= \operatorname{tg} \alpha \\ \eta &= \operatorname{tg} \beta \end{aligned} \right\} \left. \begin{aligned} \alpha &= \operatorname{arc} \operatorname{tg} \xi \\ \beta &= \operatorname{arc} \operatorname{tg} \eta \end{aligned} \right\} \quad (30)$$

задают взаимно однозначное, взаимно непрерывное соответствие (гомеоморфизм) между внутренними точками этого квадрата и точками всей плоскости переменных ξ, η . Из (29) получим коэффициент направленности как функцию от ξ и η :

$$q(\xi, \eta) = -\sin^2 \varphi (\xi + \operatorname{ctg} \varphi)(\eta - \operatorname{ctg} \varphi).$$

Функцию $q(\xi, \eta)$ проще исследовать, чем $q(\alpha, \beta)$. Основные выводы относительно последней можно получить, учитывая свойства гомеоморфизма (30). Множество линий уровней функции $q(\xi, \eta)$ есть семейство гипербол с общими асимптотами $\xi = -\operatorname{ctg} \varphi$ и $\eta = \operatorname{ctg} \varphi$. Положительные уровни расположены во второй и четвертой четвертях, отрицательные - в первой и третьей. Гиперболы $q(\xi, \eta) = 1$ и $q(\xi, \eta) = -1$ очерчивают область сходимости, содержащую всегда начало координат (рис. 8а). В квадрате $|\alpha|, |\beta| < \frac{\pi}{2}$ плоскости α, β асимптотам соответствует "асимптотический крест" из от-

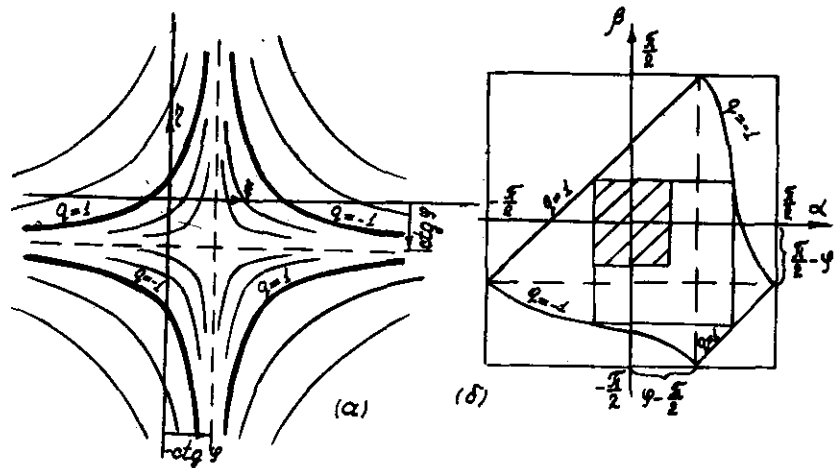


Рис. 8

резков прямых $\alpha = \varphi - \frac{\pi}{2}$ и $\beta = \frac{\pi}{2} - \varphi$, который является нулевым уровнем функции $q(\alpha, \beta)$. Его точкам соответствуют такие направления, для которых процесс последовательных приближений сходится за конечное число шагов. Уровни $q(\alpha, \beta) = 1$ и $q(\alpha, \beta) = -1$ ограничивают коловидную область сходимости (рис. 8б). Начало координат всегда лежит внутри этой области, т.е. процесс последовательных приближений всегда сходится для направлений, параллельных осям абсцисс координатных систем.

Два направления, задаваемые векторами c и α будем называть взаимно сходящимися, если процесс последовательных приближений для соответствующих прямых сходится. Каждой точке (α, β) , принадлежащей области сходимости, соответствуют два взаимно сходящихся направления и наоборот. Отрезку $[\alpha_1, \alpha_2]$ оси α соответствует некоторый пучок направлений $\{c\}$, отрезку $[\beta_1, \beta_2]$ - пучок $\{d\}$. Два пучка будем называть взаимно сходящимися, если каждое направление одного из них взаимно сходится с каждым направлением другого. Этим пучкам соответствует координатный (со сторонами параллельными координатным осям) прямоугольник, целиком лежащий внутри области сходимости. Имея в виду указанное соответствие, будем называть такие прямоугольники сходящимися. Бо-

ли прямоугольник не пересекается с "асимптотическим крестом", то характер сходимости во всех его точках одинаков.

Для любой точки на границе области сходимости можно указать единственный сходящийся прямоугольник, одной из вершин которого является выбранная точка, и который вписан в эту область. Он определяет два открытых взаимно сходящихся пучка, сумма углов которых постоянна и равна π .

Существует единственный сходящийся квадрат, вписанный в область сходимости, который из всех вписанных сходящихся прямоугольников имеет наибольшую площадь. Ему соответствуют два открытых взаимно сходящихся пучка $\{c: \frac{\varphi}{2} - \frac{\pi}{2} < \alpha < \frac{\varphi}{2}\}$ и $\{d: -\frac{\varphi}{2} < \beta < \frac{\pi}{2} - \frac{\varphi}{2}\}$, оптимальных в том смысле, что в них углы α и β равноправны. Оказывается, оптимальные сходящиеся пучки заключены между биссектрисами вертикальных углов, образованных осями абсцисс координатных систем $(xy)^{(1)}$ и $(xy)^{(2)}$ (рис. 9).

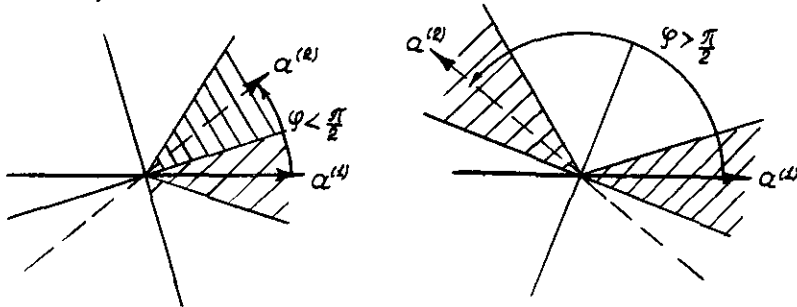


Рис. 9

Введем угол $\Phi = \min\{\frac{\varphi}{2}, \frac{\pi-\varphi}{2}\}$ и рассмотрим пучки направлений $\{c: -\Phi < \alpha < \Phi\}$ и $\{d: -\Phi < \beta < \Phi\}$. Каждый из них симметричен относительно своей оси абсцисс. Из всех симметричных пучков эти являются максимальными взаимно сходящимися. Сходимость в них носит однородный характер - "зигзаг". На рисунках 8 и 9 максимальные симметричные пучки и соответствующий им квадрат отмечены штриховкой.

Рассмотрим теперь более общий случай пересечения в начале координат (точка P) двух точечных множеств, представимых однозначными функциями $y^{(1)} = f_1(x^{(1)})$ и $y^{(2)} = f_2(x^{(2)})$.

Пусть выполнено следующее условие пересечения: для произвольного, сколь угодно малого ε найдется δ такое, что любая

точка множества с абсциссой по модулю меньше δ имеет ординату по модулю меньше ε , то есть из $|x^{(i)}| < \delta$ следует $|y^{(i)}| < \varepsilon$ ($i=1,2$). Для множества $\{M_i\}$ рассмотрим совокупность направлений, задаваемых векторами с координатами $(x^{(i)}, \text{sign} x^{(i)}, f(x^{(i)}) \cdot \text{sign} x^{(i)})$. Пучок направлений, являющийся выпуклой оболочкой указанной совокупности, назовем сопровождающим пучком множества. Процесс последовательных приближений, примененный к множествам $\{M_1\}$ и $\{M_2\}$, сходится, если сопровождающие пучки этих множеств - взаимно сходящиеся. Действительно, каждый переход из точки $(x_n^{(1)}, y_n^{(1)})$ множества $\{M_1\}$ в точку $(x_{n+1}^{(2)}, y_{n+1}^{(2)})$ множества $\{M_2\}$ вдоль вектора b_2 можно интерпретировать как переход с некоторой прямой первого сопровождающего пучка на некоторую прямую второго сопровождающего пучка. Относительно функции

$F(z) = (x^{(1)}, z)$ это есть переход с уровня $F(z) = x_n^{(1)}$ на уровень $F(z) = x_{n+1}^{(2)}$.

Пусть коэффициент направленности для этого перехода есть q_n , тогда $x_{n+1}^{(2)} = x_n^{(1)} \cdot q_n$. В свою очередь, $x_n^{(2)} = x_{n-1}^{(1)} \cdot q_{n-1}$ и так далее вплоть до исходного уровня $x_1^{(1)}$ в первом шаге приближений. Используя эти рекуррентные соотношения, выразим значения последующего уровня в n -м переходе через $x_1^{(1)}$ и произведение значений коэффициента направленности в каждом из переходов. Получим:

$$x_{n+1}^{(2)} = x_1^{(1)} \cdot \prod_{j=1}^n q_j$$

Каждой паре направлений сопровождающих пучков соответствует определенное значение коэффициента направленности. Максимум модулей этих значений обозначим \bar{q} . Тогда имеем неравенство:

$$|x_{n+1}^{(2)}| = |x_1^{(1)} \cdot \prod_{j=1}^n q_j| < |x_1^{(1)}| \cdot (\bar{q})^n \quad (31)$$

Если сопровождающие пучки являются взаимно сходящимися, то $\bar{q} < 1$ и в силу неравенства (31) $\lim_{n \rightarrow \infty} |x_{n+1}^{(2)}| = 0$.

По условию пересечения множеств $\{M_1\}$ и $\{M_2\}$ процесс последовательных приближений сходится к точке P .

Достаточность доказана, однако сформулированное условие не является необходимым. Действительно, процесс последовательных приближений затрагивает в $\{M_1\}$ и $\{M_2\}$ лишь некоторые счетные подмножества, для которых рассматриваемое условие необходимо. Остальным точкам могут соответствовать любые сопровождающие направления. Достаточное условие можно конкретизировать, если рассмотреть более узкий класс пересекающихся множеств. Пусть в точке P пересекаются непрерывные гладкие кривые, т.е. функции $f_1(x^{(1)})$ и $f_2(x^{(2)})$ имеют первые производные $f_1'(x^{(1)})$ и $f_2'(x^{(2)})$.

Рассмотрим пучок направлений параллельных касательным во всех точках кривой. Очевидно, сопровождающий пучок содержится в пучке касательных направлений, поэтому если последние для обеих кривых являются взаимно сходящимися, то процесс последовательных приближений сходится. Это имеет место, когда пучки касательных направлений содержатся в максимальных симметричных, чему соответствуют неравенства:

$$|f_1'(x^{(1)})| < \epsilon \Phi; \quad |f_2'(x^{(2)})| < \epsilon \Phi.$$

При решении прикладных геометрических задач приходится искать пересечение двух И-кривых. Пусть пересекаются i -й и j -й участки кривых. Используя оценку модуля производной (23), можно записать достаточное условие сходимости в виде двух неравенств

$$T_i < \Phi; \quad T_j = \Phi. \quad (32)$$

Из (32) ясно, что наимыгодным в смысле сходимости последовательных приближений является тот случай, когда хорды пересекающихся участков взаимно ортогональны. Если при данной системе узлов процесс не сходится, а кривые пересекаются без касания, то, уменьшая длины участков добавлением узлов, можно добиться сходимости.

В принципе, всякий расходящийся процесс можно превратить в сходящийся, изменив направление переходов на противоположное, но это сопряжено с решением трансцендентного уравнения на каждом переходе. Практически окружностная интерполяция осуществляется в ЦВМ стандартным блоком. По координатам шести последовательных точек блок вычисляет параметры интер-

поляции среднего участка, причем допускаются изломы прямых. Угловые точки на криволинейных участках должны быть отмечены неким логическим признаком.

Окружностная интерполяция имеет следующее применение:

1) Управление механизмами, осуществляющими раскрой (или разметку) плоских заготовок.

2) Геометрические расчеты некоторых элементов (например, балок с кручением) пространственных конструкций.

3) Вывод из ЦВМ графической информации на внешние чертежные устройства. В настоящее время создана программа, рассчитывающая перспективное изображение кусочно-гладкой замкнутой поверхности.

4) Численное решение некоторых задач математической физики. Имеются в виду первая краевая задача для двумерного уравнения Лапласа в односвязной области с криволинейной границей и задача о распределении зарядов на электродах сложной формы в осесимметричной системе.

Поступила в редакцию
20/1 - 1970 г.